

## トラスラーメンをダイヤフラムとする 箱形断面の特性について

正員 能 町 純 雄\*  
正員 ○松 岡 健 一\*\*  
正員 小 針 憲 司\*\*\*

### はじめに

箱桁は、その断面が変形しないように、多くのダイヤフラムで補強されているが、細長い形断面の場合、ダイヤフラムをどのような形式にするかということは、落論のあるところであろう。

ダイヤフラムにトラスラーメンを用いた箱桁の実例は、橋梁についてはあまり多くはないが、ここではこの形式について、1) ラーメンとトラスの結合はピン結合である。2) ラーメンの軸方向変形は無視する。3) ダイヤフラムは橋軸方向に連続的に取付けられている。という仮定をし、変位せん断方程式を適用して解析を行なった。

### 1. 変位せん断公式

図-1 に示す折板要素の変位せん断公式は

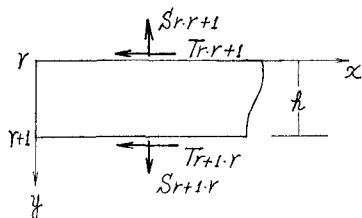


図-1

$$T_{r,r+1} = N(2\dot{u}_r + \dot{u}_{r+1}) + (\bar{S}_{r,r+1} - \bar{S}_{r+1,r})/h \quad (1)$$

$$T_{r+1,r} = N(\dot{u}_r + 2\dot{u}_{r+1}) + (\bar{S}_{r+1,r} - \bar{S}_{r,r+1})/h \quad (2)$$

$$Ght\ddot{v}_{r,r+1} = Gt(\dot{u}_r - \dot{u}_{r+1}) + S_{r,r+1} - S_{r+1,r} \quad (3)$$

$$Ght\ddot{v}_{r+1,r} = Gt(\dot{u}_{r+1} - \dot{u}_r) + S_{r+1,r} - S_{r,r+1} \quad (4)$$

上式中、 $u, v$  はそれぞれ  $x, y$  を方向の変位、 $T, S$  は、せん断力および法線力である。また  $t, h$  は折板要素の厚さおよび幅であり、 $N = Eht/6(1-\nu^2)$ 、 $\dot{u}, \bar{S}$  は、それぞれ  $x$  についての微分と積分を表わす。

### 2. フーリエ定和分変換公式

関数  $f(x)$  のフーリエ定和分変換を次のように記す。

$$S_\xi[f(x)] = \sum_{x=1}^{n-1} f(x) \sin \frac{\pi\xi}{n} x \quad (5)$$

$$H_\xi \left[ f \left( x + \frac{1}{2} \right) \right] = \sum_{x=0}^{n-1} f \left( x + \frac{1}{2} \right) \sin \frac{\pi\xi}{n} \left( x + \frac{1}{2} \right) \quad (6)$$

この逆変換は

$$f(x) = \frac{2}{n} \sum_{\xi=1}^{n-1} S_\xi[f(x)] \sin \frac{\pi\xi}{n} x \quad (7)$$

$$f \left( x + \frac{1}{2} \right) = \frac{2}{n} \sum_{\xi=1}^{n-1} H_\xi \left[ f \left( x + \frac{1}{2} \right) \right] \sin \frac{\pi\xi}{n} \left( x + \frac{1}{2} \right) + (-1)^x H_n \left[ f \left( x + \frac{1}{2} \right) \right] \quad (8)$$

また、上の公式を用いると

$$S_\xi[\Delta^2 f(x-1)] = -\sin \frac{\pi\xi}{n} \left\{ (-1)^\xi f(n) - f(0) \right\} - D_\xi S_\xi[f(x)] \quad (9)$$

$$\sum_{x=1}^{n-2} \Delta^2 f \left( x - \frac{1}{2} \right) \sin \frac{\pi\xi}{n} \left( x - \frac{1}{2} \right) = -\sin \frac{\pi\xi}{2n} \left\{ \Delta f \left( \frac{1}{2} \right) + (-1)^\xi \Delta f \left( n - \frac{3}{2} \right) \right\} + 2 \sin \frac{\pi\xi}{2n} \left\{ f \left( \frac{1}{2} \right) - (-1)^\xi f \left( n - \frac{1}{2} \right) \right\} - D_\xi H_\xi \left[ f \left( x + \frac{1}{2} \right) \right] \quad (10)$$

ただし、 $\Delta f(x) = f(x+1) - f(x)$ 、 $\Delta f \left( x - \frac{1}{2} \right) = f \left( x + \frac{1}{2} \right) - f \left( x - \frac{1}{2} \right)$ 、 $D_\xi = 2(1 - \cos \pi\xi/n)$  である。

### 3. 力のつり合式

トラスラーメンをダイヤフラムとする箱桁の断面を、図-2のようにモデル化する。

節点  $r$  における力のつり合いは (図-3 参照)

$$T_{r,r+1} + T_{r,r-1} = 0 \quad (11)$$

$$X_{r,r+1} - X_{r,r-1} + (S_{r,r'+\frac{1}{2}} + S_{r,r'-\frac{1}{2}}) \cos \theta = -P_r \quad (12)$$

\* 室蘭工業大学 教授 工博

\*\* 室蘭工業大学 助教授 工修

\*\*\* 函館ドック KK 橋梁鉄構設計課

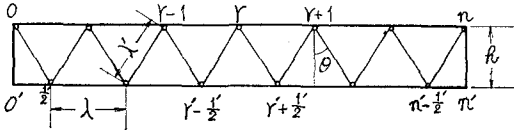


図-2

$$S_{r,r+1} - S_{r,r-1} + (S_{r,r'+\frac{1}{2}} - S_{r,r'-\frac{1}{2}}) \sin \theta = 0 \quad (13)$$

節点  $r'+\frac{1}{2}$  では

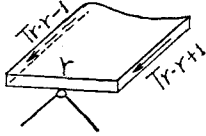


図-3 a

$$S_{r,r'+\frac{1}{2}} = (EA/\lambda) [(v_{r'+\frac{1}{2}} - v_r) \sin \theta + (w_{r'+\frac{1}{2}} - w_r) \cos \theta] \quad (17)$$

$$S_{r,r'-\frac{1}{2}} = (EA/\lambda) [(v_r - v_{r'-\frac{1}{2}}) \sin \theta + (w_{r'-\frac{1}{2}} - w_r) \cos \theta] \quad (18)$$

$$X_{r,r+1} = X_{r+1,r} = (M_{r+1} - M_r)/\lambda \quad (19)$$

$$M_{r-1} + 4M_r + M_{r+1} = (6EI/\lambda^2) \Delta^2 w_{r-1} \quad (20)$$

また、 $\frac{1}{2}$  点では

$$T_{\frac{1}{2},0'} + T_{\frac{1}{2},\frac{1}{2}} = 0 \quad (21)$$

$$X_{\frac{1}{2},\frac{1}{2}} - X_{\frac{1}{2},0'} - (S_{0,\frac{1}{2}} + S_{1,\frac{1}{2}}) \cos \theta = 0 \quad (22)$$

$$S_{\frac{1}{2},\frac{1}{2}} - S_{\frac{1}{2},0'} + (S_{1,\frac{1}{2}} - S_{0,\frac{1}{2}}) \sin \theta = 0 \quad (23)$$

(11)~(16)式に、(1)~(4)式および(17)~(19)式を代入すると

$$N(6\ddot{u}_r + \Delta^2 \ddot{u}_{r-1}) + \frac{Gt}{\lambda} \Delta^2 \dot{u}_{r-1} = 0 \quad (24)$$

$$N'(6\ddot{u}_{r'+\frac{1}{2}} + \Delta^2 \ddot{u}_{r'-\frac{1}{2}}) + \frac{Gt'}{\lambda} \Delta^2 \dot{u}_{r'-\frac{1}{2}} = 0 \quad (25)$$

$$\left\{ N \left( \frac{m\pi}{l} \right)^2 (6-D_i) + \frac{Gt}{\lambda} D_i \right\} \mathbf{S}_i [\dot{\mathbf{u}}_{r,m}] = \left\{ \frac{Gt}{\lambda} - N \left( \frac{m\pi}{l} \right)^2 \right\} \sin \frac{\pi i}{n} \left\{ \dot{\mathbf{u}}_{0,m} - (-1)^i \mathbf{u}_{n,m} \right\} \quad (30)$$

$$\left\{ N' \left( \frac{m\pi}{l} \right)^2 (6-D_i) + \frac{Gt'}{\lambda} D_i \right\} \mathbf{H}_i [\dot{\mathbf{u}}_{r'+\frac{1}{2},m}] = \left\{ \frac{2Gt'}{\lambda} - \frac{N'}{2} \left( \frac{m\pi}{l} \right)^2 \right\} \sin \frac{\pi i}{2n} \left\{ \dot{\mathbf{u}}_{0',m} - (-1)^i \dot{\mathbf{u}}_{n',m} \right\} \quad (31)$$

$$\frac{1}{\lambda} D_i \mathbf{S}_i [M_r] + \frac{1}{\lambda} \sin \frac{\pi i}{n} \left\{ (-1)^i M_n - M_0 \right\} - \frac{2EA}{\lambda'} \cos^2 \theta \left\{ \cos \frac{\pi i}{2n} \mathbf{H}_i^* [w_{r'+\frac{1}{2}}] - \mathbf{S}_i [w_r] \right\} = P_i \quad (32)$$

$$\frac{1}{\lambda} D_i \mathbf{H}_i [M_{r'+\frac{1}{2}}] - \frac{2EA}{\lambda'^2} \cos^2 \theta \cos \frac{\pi i}{2n} \mathbf{S}_i [w_r] + \frac{2EA}{\lambda'} \cos^2 \theta \mathbf{H}_i [w_{r'+\frac{1}{2}}] + \sin \frac{\pi i}{2n} \left[ 2 \left\{ M_0 - (-1)^i M_n \right\} + \frac{EA}{\lambda'} \cos^2 \theta \left\{ w_0 - (-1)^i w_n \right\} \right] \quad (33)$$

$$(6-D_i) \mathbf{S}_i [M_r] - \frac{6EI}{\lambda^2} D_i \mathbf{S}_i [w_r] = \sin \frac{\pi i}{n} \left[ (-1)^i M_n - M_0 + \frac{6EI}{\lambda^2} \left\{ (-1)^i w_n - w_0 \right\} \right] \quad (34)$$

$$(6-D_i) \mathbf{H}_i [M_{r'+\frac{1}{2}}] - \frac{6EI'}{\lambda'^2} D_i \mathbf{H}_i [w_{r'+\frac{1}{2}}] = \sin \frac{\pi i}{2n} \left[ \frac{1}{2} \left\{ (-1)^i M_n - M_0 \right\} + \frac{12EI'}{\lambda'^2} \left\{ w_0 - (-1)^i w_n \right\} \right] \quad (35)$$

ここで

$$\dot{\mathbf{u}}_r = \frac{4}{nl} \sum_{i=1}^{n-1} \sum_{m=1}^{\infty} \mathbf{S}_i [\dot{\mathbf{u}}_{r,m}] \sin \frac{m\pi}{l} x \sin \frac{\pi i}{n} r \quad (36)$$

$$T_{r'+\frac{1}{2},r'+\frac{1}{2}} + T_{r'+\frac{1}{2},r'-\frac{1}{2}} = 0 \quad (14)$$

$$X_{r'+\frac{1}{2},r'+\frac{1}{2}} - X_{r'+\frac{1}{2},r'-\frac{1}{2}} - (S_{r',r'+\frac{1}{2}} + S_{r'+1,r'+\frac{1}{2}}) \cos \theta = 0 \quad (15)$$

$$S_{r'+\frac{1}{2},r'+\frac{1}{2}} - S_{r'+\frac{1}{2},r'-\frac{1}{2}} + (S_{r'+1,r'+\frac{1}{2}} - S_{r',r'+\frac{1}{2}}) \sin \theta = 0 \quad (16)$$

ここで、節点における Z 方向変位を  $w$ ,  $x$  軸回りの曲げモーメントを  $M$  とし、トラスの間隔を  $\lambda$ , 斜材の長さを  $\lambda'$ , 断面積を  $A$ , ラーメン部材の上板, 下板, 腹板の厚さおよび断面 2 次モーメントを  $I, I', I_0$  とすると

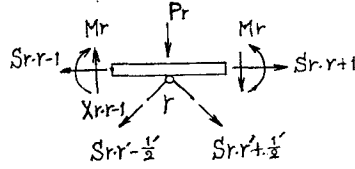


図-3 b

$$\frac{1}{\lambda} \Delta^2 M_{r-1} + \frac{EA}{\lambda'} \cos^2 \theta (w_{r'+\frac{1}{2}} - 2w_r + w_{r'-\frac{1}{2}}) = -P_r \quad (26)$$

$$\frac{1}{\lambda} \Delta^2 M_{r'+\frac{1}{2}} + \frac{EA}{\lambda'} \cos^2 \theta (w_{r+1} - 2w_{r'+\frac{1}{2}} + w_r) = 0 \quad (27)$$

ただし、ここでは 2) の仮定を用いて  $v_0, v_1, \dots, v_n = v$ ,  $w_0, w_{\frac{1}{2}}, \dots, w_{n-\frac{1}{2}}, w_n = w'$  としている。

(20) 式から

$$6M_r + \Delta^2 M_{r-1} + \frac{6EI}{\lambda^2} \Delta^2 w_{r-1} = 0 \quad (28)$$

$$6M_{r'+\frac{1}{2}} + \Delta^2 M_{r'-\frac{1}{2}} + \frac{6EI'}{\lambda'^2} \Delta^2 w_{r'-\frac{1}{2}} = 0 \quad (29)$$

#### 4. $u, w, M$ の和分変換式

(24)~(29)式に(5)~(8)式を適用して、(21), (22)の関係を適用すると

$$\dot{u}_{r'+\frac{1}{2}'} = \frac{4}{n \cdot l} \sum_{m=1}^{\infty} \left\{ \sum_{\ell=1}^{n-1} \mathbf{H}_{\ell} [\dot{u}_{r'+\frac{1}{2}', m}] \sin \frac{\pi \ell}{n} \left( r + \frac{1}{2} \right) + (-1)^r \frac{1}{2} \mathbf{H}_n [\dot{u}_{r'+\frac{1}{2}', m}] \right\} \sin \frac{m\pi}{l} x \quad (37)$$

$$\tau_{r'} = \frac{2}{n} \sum_{\ell=1}^{n-1} \mathbf{S}_{\ell} [\tau_{r'}] \sin \frac{\pi \ell}{n} r \quad (38)$$

$$\tau_{r'+\frac{1}{2}'} = \frac{2}{n} \sum_{\ell=1}^{n-1} \mathbf{H}_{\ell} [\tau_{r'+\frac{1}{2}'}] \sin \frac{\pi \ell}{n} \left( r' + \frac{1}{2} \right) + \frac{(-1)^{r'}}{n} \mathbf{H}_n [\tau_{r'+\frac{1}{2}'}] \quad (39)$$

$$M_{r'} = \frac{2}{n} \sum_{\ell=1}^{n-1} \mathbf{S}_{\ell} [M_{r'}] \sin \frac{\pi \ell}{n} r \quad (40)$$

$$M_{r'+\frac{1}{2}'} = \frac{2}{n} \sum_{\ell=1}^{n-1} \mathbf{H}_{\ell} [M_{r'+\frac{1}{2}'}] \sin \frac{\pi \ell}{n} \left( r' + \frac{1}{2} \right) + \frac{(-1)^{r'}}{n} \mathbf{H}_n [M_{r'+\frac{1}{2}'}] \quad (41)$$

また上式中、 $\tau_{0 \cdot m}$ ,  $\tau_{0'}$ ,  $M_0, \dots$ 等は、境界条件より決まるものである。

### 5. 境界条件

境界における力のつり合を 図-4 に示す。したがって境界条件式は

0点で

$$T_{0 \cdot 1} + T_{0 \cdot 0'} = 0 \quad (42)$$

$$X_{0 \cdot 1} + S_{0 \cdot 0'} + S_{0 \cdot \frac{1}{2}'} \cos \theta = -P_0 \quad (43)$$

$$S_{0 \cdot 1} - X_{0 \cdot 0'} + S_{0 \cdot \frac{1}{2}'} \sin \theta = 0 \quad (44)$$

$$-\frac{h}{I_0} M_0 + 2 \left( \frac{h}{I_0} + \frac{\lambda}{2I'} \right) M_{0'} + \frac{\lambda}{2I'} M_{\frac{1}{2}'} + 6E \left\{ \frac{2}{\lambda} (\tau_{\frac{1}{2}'} - \tau_{0'}) + \frac{v-v'}{h} \right\} = 0 \quad (49)$$

(42), (46) 式に、(1)~(4) 式および (17)~(19) 式を代入する。

$$N_0(2\ddot{u}_0 + \ddot{u}_{0'}) + Gt_0 \ddot{w}_0 - \frac{Gt_0}{h} (\dot{u}_0 - \dot{u}_{0'}) + N(2\ddot{u}_0 + \ddot{u}_1) + Gt' \ddot{v} - \frac{Gt'}{\lambda} (\dot{u}_0 - \dot{u}_1) = 0 \quad (50)$$

$$N_0(2\ddot{u}_{0'} + \ddot{u}_0) - Gt_0 \ddot{w}_0 + \frac{Gt_0}{h} (\dot{u}_0 - \dot{u}_{0'}) + \frac{N'}{2} (2\ddot{u}_{0'} + \ddot{u}_{\frac{1}{2}'} + Gt' \ddot{v}' - \frac{2}{\lambda} Gt' (\dot{u}_{0'} - \dot{u}_{\frac{1}{2}'})) = 0 \quad (51)$$

上式をフーリエで変換すると

$$-\left\{ 2(N+N_0) \left( \frac{m\pi}{l} \right)^2 + \left( \frac{Gt_0}{h} + \frac{Gt}{\lambda} \right) \right\} \dot{u}_{0 \cdot m} - \left\{ N_0 \left( \frac{m\pi}{l} \right)^2 - \frac{Gt_0}{h} \right\} \dot{u}_{0' \cdot m} - \left\{ N \left( \frac{m\pi}{l} \right)^2 - \frac{Gt}{\lambda} \right\} \dot{u}_{1 \cdot m} = Gt_0 \left( \frac{m\pi}{l} \right)^2 w_{0 \cdot m} + Gt \left( \frac{m\pi}{l} \right)^2 v \quad (52)$$

$$\left\{ N_0 \left( \frac{m\pi}{l} \right)^2 + \frac{Gt_0}{h} \right\} \dot{u}_{0 \cdot m} + \left\{ 2N_0 + N' \right\} \left( \frac{m\pi}{l} \right)^2 + \frac{Gt_0}{h} + \frac{2}{\lambda} Gt' \right\} \dot{u}_{0' \cdot m} + \left\{ \frac{N'}{2} \left( \frac{m\pi}{l} \right)^2 - \frac{2}{\lambda} Gt' \right\} \dot{u}_{\frac{1}{2} \cdot m} = Gt_0 \left( \frac{m\pi}{l} \right)^2 w_{0 \cdot m} - Gt' \left( \frac{m\pi}{l} \right)^2 v_{m'} \quad (53)$$

(43), (47) 式から

$$\left\{ Gt_0 h \ddot{w}_0 - \frac{EA}{\lambda'} \cos^2 \theta w_0 \right\} - \frac{EA}{\lambda'} \sin \theta \cos \theta (v-v') - Gt_0 (\dot{u}_0 - \dot{u}_{0'}) + \frac{1}{\lambda} (M_1 - M_0 + 2M_{\frac{1}{2}'} - 2M_{0'}) + \frac{EA}{\lambda'} \cos^2 \theta \tau_{\frac{1}{2}'} = -P_0 \quad (54)$$

(13), (44), (3), (4) 式から

$$\sum_{r=0}^{n-1} (\mathbf{S}_{r \cdot r+1} - \mathbf{S}_{r+1 \cdot r}) = \sum_{r=1}^{n-1} (\mathbf{S}_{r \cdot r+1} - \mathbf{S}_{r \cdot r-1}) + \mathbf{S}_{0 \cdot 1} - \mathbf{S}_{n \cdot n-1}$$

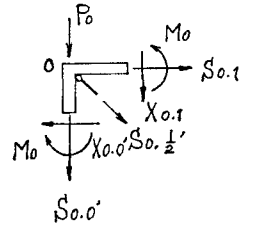
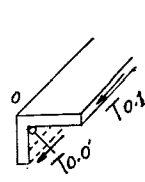


図-4 a

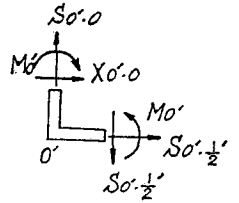
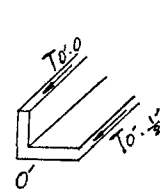


図-4 b

変位と曲げモーメントの関係は

$$\frac{\lambda}{I} M_1 + 2 \left( \frac{\lambda}{I} + \frac{h}{I_0} \right) M_0 - \frac{h}{I_0} M_{0'} + 6E \left( \frac{\tau_{\frac{1}{2}'} - \tau_{0'}}{\lambda} - \frac{v-v'}{h} \right) = 0 \quad (45)$$

0'点で

$$T_{0' \cdot 0} + T_{0' \cdot \frac{1}{2}'} = 0 \quad (46)$$

$$X_{0' \cdot \frac{1}{2}'} - S_{0' \cdot 0} = 0 \quad (47)$$

$$X_{0' \cdot 0} + S_{0' \cdot \frac{1}{2}'} = 0 \quad (48)$$

$$\begin{aligned}
&= \frac{EA}{\lambda'} \cos \theta \sin \theta (\tau_{v_0} - \tau_{v_n}) + \frac{2nEA}{\lambda'} \sin^2 \theta (v - v') + \frac{1}{h} (M_0 + M_{0'} - M_n - M_{n'}) = nGt \lambda \ddot{v} + Gt (\dot{u}_n - \dot{u}_0) \\
nGt \lambda \ddot{v} - \frac{2nEA}{\lambda'} \sin^2 \theta (v - v') - \frac{EA}{\lambda'} \cos \theta \sin \theta (\tau_{v_0} - \tau_{v_n}) - \frac{1}{h} (M_0 + M_{0'} - M_n - M_{n'}) - Gt (\dot{u}_n - \dot{u}_0) & \quad (55)
\end{aligned}$$

(16), (23), (48) 式から同じように

$$nGt' \lambda \ddot{v}' + \frac{2nEA}{\lambda'} \sin^2 \theta (v - v') - \frac{EA}{\lambda'} \sin \theta \cos \theta (\tau_{v_0} - \tau_{v_0'}) + \frac{1}{h} (M_0 + M_{0'} - M_n - M_{n'}) + Gt' (\dot{u}_{n'} - \dot{u}_{0'}) = 0 \quad (56)$$

(54)~(56) 式をフーリエ変換すると

$$\begin{aligned}
&\left\{ Gt_0 h \left( \frac{m\pi}{l} \right)^2 + \frac{EA}{\lambda'} \cos^2 \theta \right\} \mathbf{w}_{0,m} + \frac{EA}{\lambda'} \sin \theta \cos \theta (\mathbf{v}_m - \mathbf{v}_{m'}) - Gt_0 (\dot{\mathbf{u}}_{0,m} - \dot{\mathbf{u}}_{0',m}) \\
&+ \frac{EA}{\lambda'} \cos^2 \theta \dot{\mathbf{w}}_{\frac{1}{2},m} + \frac{1}{\lambda} (\mathbf{M}_{1,m} - \mathbf{M}_{0,m} + 2\mathbf{M}_{\frac{1}{2},m} - 2\mathbf{M}_{0',m}) = -\mathbf{P}_{0,m} \quad (57)
\end{aligned}$$

$$\begin{aligned}
&\left\{ nGt \left( \frac{m\pi}{l} \right)^2 + \frac{2nEA}{\lambda'} \sin^2 \theta \right\} \mathbf{v}_m - \frac{2nEA}{\lambda'} \sin^2 \theta \mathbf{v}_{m'} \\
&+ \frac{EA}{\lambda'} \cos \theta \sin \theta (\mathbf{w}_{0,m} - \mathbf{w}_{n,m}) + \frac{1}{h} (\mathbf{M}_{0,m} + \mathbf{M}_{0',m} - \mathbf{M}_{n,m} - \mathbf{M}_{n',m}) + Gt (\dot{\mathbf{u}}_{n,m} - \dot{\mathbf{u}}_{0,m}) = 0 \quad (58)
\end{aligned}$$

$$\begin{aligned}
&\frac{2nEA}{\lambda'} \sin^2 \theta \mathbf{v}_m - \left\{ nGt' \left( \frac{m\pi}{l} \right)^2 + \frac{2nEA}{\lambda'} \sin^2 \theta \right\} \mathbf{v}_{m'} \\
&- \frac{EA}{\lambda'} \sin \theta \cos \theta (\mathbf{w}_{n,m} - \mathbf{w}_{0,m}) + \frac{1}{h} (\mathbf{M}_{0,m} + \mathbf{M}_{0',m} - \mathbf{M}_{n,m} - \mathbf{M}_{n',m}) + Gt' (\dot{\mathbf{u}}_{n',m} - \dot{\mathbf{u}}_{0',m}) = 0 \quad (59)
\end{aligned}$$

節点  $n, n'$  についても同様に

$$\begin{aligned}
&-\left\{ 2(N+N_0) \left( \frac{m\pi}{l} \right)^2 + \frac{Gt_0}{h} + \frac{Gt}{\lambda} \right\} \dot{\mathbf{u}}_{n,m} \\
&-\left\{ N_0 \left( \frac{m\pi}{l} \right)^2 - \frac{Gt_0}{h} \right\} \dot{\mathbf{u}}_{n',m} - \left\{ N \left( \frac{m\pi}{l} \right)^2 - \frac{Gt}{\lambda} \right\} \dot{\mathbf{u}}_{n-1,m} = Gt_0 \left( \frac{m\pi}{l} \right)^2 \mathbf{w}_{n,m} + Gt \left( \frac{m\pi}{l} \right)^2 \dot{\mathbf{u}}_m \quad (60)
\end{aligned}$$

$$\begin{aligned}
&\left\{ N_0 \left( \frac{m\pi}{l} \right)^2 + \frac{Gt_0}{h} \right\} \dot{\mathbf{u}}_{n,m} + \left\{ (2N_0 + N') \left( \frac{m\pi}{l} \right)^2 + \frac{Gt_0}{h} + \frac{2}{\lambda} Gt' \right\} \dot{\mathbf{u}}_{n',m} \\
&+ \left\{ \frac{N'}{2} \left( \frac{m\pi}{l} \right)^2 - \frac{2}{\lambda} Gt' \right\} \dot{\mathbf{u}}_{n'-\frac{1}{2},n} = Gt_0 \left( \frac{m\pi}{l} \right)^2 \mathbf{w}_{n,m} - Gt' \left( \frac{m\pi}{l} \right)^2 \mathbf{v}_{m'} \quad (61)
\end{aligned}$$

$$\begin{aligned}
&\left\{ Gt_0 h \left( \frac{m\pi}{l} \right)^2 + \frac{EA}{\lambda'} \cos^2 \theta \right\} \mathbf{w}_{n,m} - \frac{EA}{\lambda'} \sin \theta \cos \theta (\mathbf{v}_m - \mathbf{v}_{m'}) + Gt_0 (\dot{\mathbf{u}}_{n,m} - \dot{\mathbf{u}}_{n',m}) \\
&+ \frac{1}{\lambda} (\mathbf{M}_n - \mathbf{M}_{n-1} + 2\mathbf{M}_{n'} - 2\mathbf{M}_{n'-\frac{1}{2}}) - \frac{EA}{\lambda'} \cos^2 \theta \mathbf{w}_{n'-\frac{1}{2},m} = -\mathbf{P}_{n,m} \quad (62)
\end{aligned}$$

$$\frac{\lambda}{l} M_{n-1} + 2 \left( \frac{\lambda}{l} + \frac{h}{l_0} \right) M_n - \frac{h}{l_0} M_{n'} + \frac{6E}{h} (v - v') - \frac{6E}{\lambda} (\tau_{v_0} - \tau_{v_{n-1}}) = 0 \quad (63)$$

$$\frac{\lambda}{2l'} M_{n'-\frac{1}{2}} + 2 \left( \frac{h}{l_0} + \frac{\lambda}{2l'} \right) M_{n'} - \frac{h}{l_0} M_n + \frac{6E}{h} (v - v') - \frac{6E}{\lambda} (\tau_{v_n} - \tau_{v_{n'-\frac{1}{2}}}) = 0 \quad (64)$$

ここで

$$\mathbf{w}_{0,m} = \int_0^l \tau_{v_0} \sin \frac{m\pi}{l} x dx,$$

$$\mathbf{w}_{n,m} = \int_0^l \tau_{v_n} \sin \frac{m\pi}{l} x dx$$

$$\mathbf{w}_{1,m} = \frac{2}{n} \sum_{\xi=1}^{n-1} \mathbf{S}_\xi [\mathbf{w}_{r,m}] \sin \frac{\pi \xi}{n}$$

$$\mathbf{w}_{n-1,m} = -\frac{2}{n} \sum_{\xi=1}^{n-1} (-1)^\xi \mathbf{S}_\xi [\mathbf{w}_{r,m}] \sin \frac{\pi \xi}{n}$$

$$\mathbf{w}_{\frac{1}{2},m} = \frac{2}{n} \sum_{\xi=1}^{n-1} \mathbf{H}_\xi [\mathbf{w}_{r'+\frac{1}{2},m}] \sin \frac{\pi \xi}{2n}$$

$$+ \frac{1}{n} \mathbf{H}_n [\mathbf{w}_{r'+\frac{1}{2},m}]$$

$$\mathbf{w}_{n'-\frac{1}{2},m} = -\frac{2}{n} \sum_{\xi=1}^{n-1} (-1)^\xi \mathbf{H}_\xi [\mathbf{w}_{r'+\frac{1}{2},m}] \sin \frac{\pi \xi}{2n}$$

$$- \frac{(-1)^n}{n} \mathbf{H}_n [\mathbf{w}_{r'+\frac{1}{2},m}]$$

$\mathbf{M}_{0,m}, \mathbf{M}_{0',m}, \mathbf{M}_{n,m}, \mathbf{M}_{n',m}, \mathbf{M}_{1,m}, \mathbf{M}_{n-1,m}, \mathbf{M}_{\frac{1}{2},m},$

$\mathbf{M}_{n'-\frac{1}{2}}, \dot{\mathbf{u}}_{0,m}, \dot{\mathbf{u}}_{0',m}, \mathbf{v}_m, \mathbf{v}_{m'}$ , 等は同じように導かれる。

以上 (30)~(35) 式, (52), (53), (57)~(62) 式を解くことにより各点の変位等が得られる。

## 5. 数値計算例

数値計算例として, 現在建設中である石狩河口橋の断面により, 三径間連続斜張橋, 支間 288 m をこれと撓みの等価な, 支間 70 m の単純梁としたものの計算を行なった。

断面の数値は  $n=4, t=2.12 \text{ cm}, l'=1.5 \text{ cm}, l_0=1 \text{ cm}, \lambda=283.75 \text{ cm}, h=193.4 \text{ cm}, A=0.0666111 \text{ cm}^2$  であり, その計算結果を図-5, 6, 7, 8 に示す。結果は一部しか示していないが, この場合, たわみ, 曲げモーメント影響線等から, ダイアフラムとして取付けたトラス部材はかなり良く荷重を分散させていることがわかる。

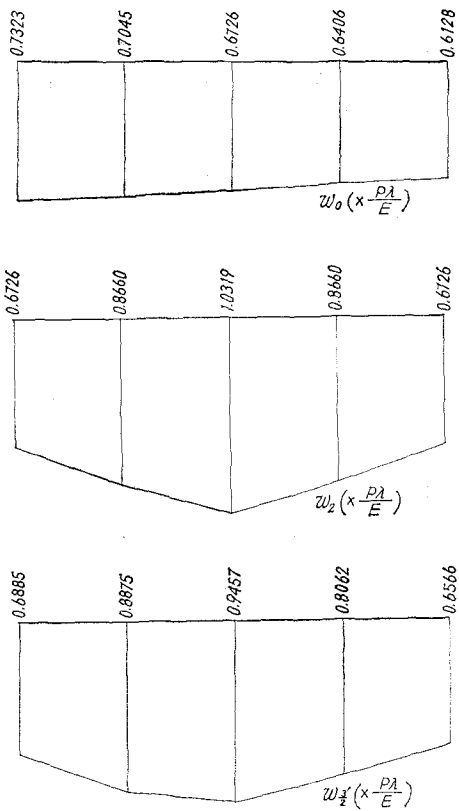


図-5 たわみ影響線図

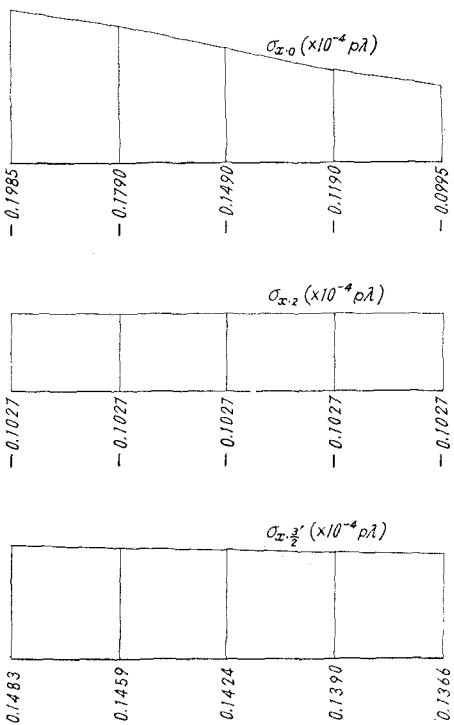


図-6  $\sigma_x$  影響線図

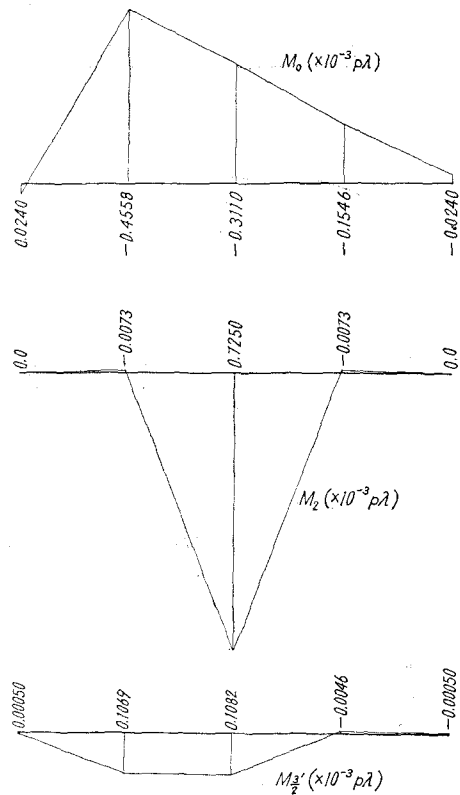


図-7 曲げモーメント影響線図

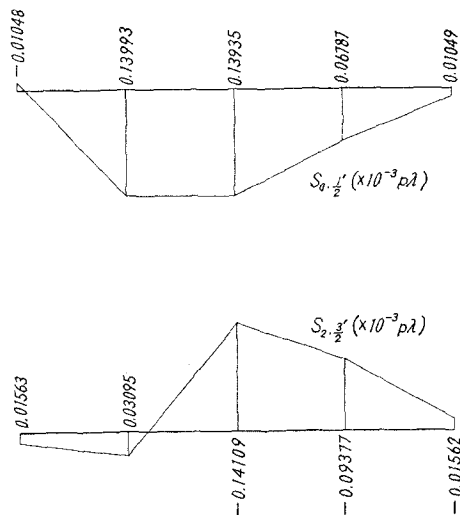


図-8 斜材応力影響線図

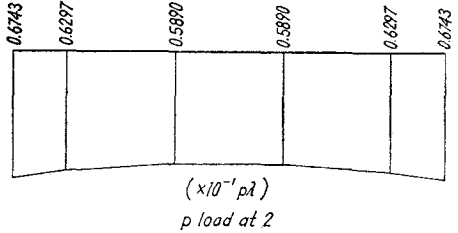
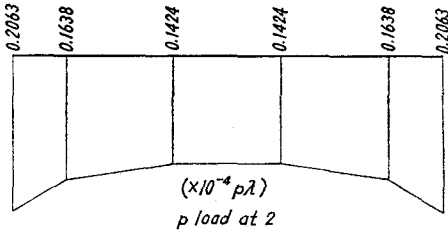
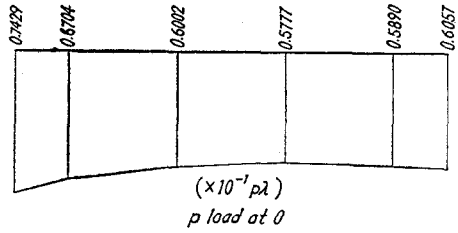
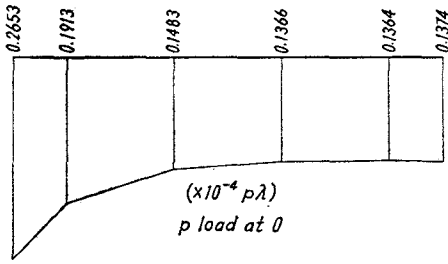


図-9 a  $\sigma_{x'}$  分布図

図-9 b  $\sigma_{x'}$  分布図

また、腹板付近のフランジでは shear lag の影響がはつきり出て来ており、とくに、集中荷重については当然のことながらかなり大きい値を示している (図-9 参照)。

計算例も十分でなく、また他の型式との比較も行っていないので、このことについては、また後の機会に発表する予定である。

## 6. 結 び

以上、複雑な構造のダイヤフラムをもつ箱桁について検討したが、この解析でも定積分変換を用いると、連立方程式の元数をへらすことが出来る。すなわち、トラスを  $n$  等分点に取付けると一般には、 $(2n+1) \times 3 + 4$  元の連立方程式となるが、ここでは定積分変換を行なうことにより、分割数にかかわらず 16 元連立方程式を解くことに帰結出来る。

この型のダイヤフラムの優劣について論ずるには、まだ

## 参 考 文 献

- S. G. Nomachi: On Bending of Multi-Equi-Cell Plate, Memoirs of the Muroran Institute of Tech Vol. 6, No. 2, 1966.
- S. G. Nomochi: On Finite Fourier Sine Series with respect to Finite Differences. Memoirs of the Muroran Institute of Tech Vol. 5, No. 7, 1965.